

Frequenzanalysen mit dem f-scan/Dirp: Erfahrungen, Parallelen zum Aschoff-Test, Fallbeispiele, Vortrag und Demonstration auf dem IAG-Kongress Fulda 10.-12.10.08

Ich berichte Ihnen nun über die neuesten Möglichkeiten der Frequenzdiagnostik. Zur Erinnerung möchte ich an den Vortrag von Dr. med. Dieter Aschoff von 1954 erinnern: Die Elektromagnetischen Kraftfelder in ihrer diagnostischen und therapeutischen Bedeutung.

Schon 1954 war Dieter Aschoff klar, dass sich nur durch elektromagnetische Wellen erklären lässt, wenn körperfern ein Rutengänger (Herr Kepper) auf den Zentimeter genaue Diagnosen mit der Wünschelrute stellen konnte. Da das gleiche auch mit Blut des Patienten auf einem elektromagnetischen Schwingkreis funktionierte, sah man sich in seiner Auffassung bestärkt.

Dieter Aschoff entging in dieser Zeit, dass bereits R. Rife in den 20er Jahren Mikroben durch Frequenzabstrahlung zerstören konnte. Frau Hulda Clark hat in den letzten 10-15 Jahren eine Wiederbelebung der Rife'schen Erkenntnisse erreicht und selbst Frequenzen herausgefunden, die zur Analyse der Erreger im Körper besonders dienlich sind. Während die Rife-Frequenzen im niedrigen Hertz Bereich liegen, bei 3-ca.10.000 Hz, liegen die zur Auffindung von Krankheitserregern wichtigen Frequenzen im Bereich von 80.000 Hz bis 560000 Hz. Ein Vorteil der letzteren Frequenzen ist, dass mit diesen ebenfalls auch therapiert werden kann.

Welche Erfahrungen konnte ich in fast zweijähriger Anwendung von Diagnostik und Therapie, insbesondere zum bisherigen Elektromagnetischen Bluttest sammeln?

Schon nach wenigen Anwendungen des f-scan/Dirp-Verfahrens wurde die Übereinstimmung mit dem Bluttest deutlich. Hierzu 2 Fallbeispiele:

Ein 14 jähriger Junge wird im Oktober 2006 von den Eltern zu mir geschickt. Der Junge sei immer müde, habe einen Leistungsabfall in der Schule gehabt und benötige sehr viel Schlaf. Beim damaligen Bluttest wurde von mir gefunden: Drüsenfieber (Ebstein-Barr-Virus-Infektion), Staphylococccen (Hautkeim) und Proteus (Darmbakterium). Der f-scan stand mir zu dieser Zeit noch nicht zur Verfügung, eine Kontrolle wurde für Anfang Januar eingeplant.

Bei der Untersuchung im Januar hatte ich bereits den f-scan/Dirp der Firma TB-electronics zur Analyse. Die Analyse fand zutreffend die Erreger: Ebstein-Barr-Virus, Staphylococccen, Proteus. Darüber hinaus fand der f-scan aber noch zahlreiche andere wichtige Erreger, die ich zum Teil nicht in Testampullen für den Bluttest vorliegen habe. Außerdem waren die Erreger offenbar noch nicht weg, so dass die Naturheilmittel noch nicht ihre volle Wirkung getan hatten. Die Stärke des neuen f-scan-Dirp Verfahrens liegt nun zusätzlich in der Therapieoption. Wir können nach der Analyse der körpereigenen Frequenzen und Zuordnung zu den jeweiligen Krankheitserregern diese aus einer Liste auswählen und zur Therapie nutzen. Erkennungsfrequenz und Therapiefrequenz sind eins.

Ein zweiter Fall. Ein Ehepaar kommt erneut zum Bluttest. Ich führe bei der Ehefrau zuerst den f-scan durch, beim Ehemann zuerst den Bluttest und anschließend die Frequenzanalyse. Die Übereinstimmung mit dem Bluttestergebnis zeigen die Beiden Abbildungen. Wir sehen natürlich keine hundertprozentigen Übereinstimmungen. Die gibt es auch mit schulmedizinischen Verfahren nicht. Immerhin kommen große Übereinstimmungen heraus zwischen beiden Verfahren.

Elektromagnetischer Bluttest

Patient: **R., J.** Ausgl.: RR. re.: Datum: **28.04.08**
 Spez. Gew.: Ph. Indik. Uror.

magnetisch **X**
 elektrisch:
 Gold **X** Sympath.: **2** Standort: **Pro Dialvit 44**
 Silber **X** Vagus: Neutr. Resonanz: **1x1**
 R.A. cm.: **45** Fernleinwirkung:
 U.V. Abstr. cm.: **10** Mikrowelle: **Badiaga 5**
 DNS: Gen: Rad. Belastung:
 Mykosen: Acid. hydrofl.: Magnetwirbel: **Synergon**
 Nosode I II III Frequenzen: **Kattwiga**
 C.v.Testl.: Vermes Medikamente:
 Amalgam: Bor. FSME Bufo.: **2x15 Tr.**
 Erythroz.: Zeck.F. Feli Calc.ars.:
 Toxopl.

Geotrich. Caudidum
Caulicola 02
Diphtherinämie (2) **Citochondrien D2 (2)**
Herpes I + II 02 **CoCon JF (2)**
Mykoplasma 02 **Prostata JF (2)**
Streptococcus 02 **Corpus vitreum 02**
V Grippe 01 **Meningitis 02**
Pap. duodeni 02

- Notizen
- 01) 82000Hz » Clark Deu... - (008) - Argyria - 81000Hz
 » Clark Eng... - (008) - Argyria - 81000Hz
 - 02) 81000Hz » Clark Deu... - (008) - Argyria - 81000Hz
 » Clark Eng... - (008) - Argyria - 81000Hz
 - 03) 87000Hz » Clark Deu... - (006) - Sterigmatocystin - 88000Hz
 » Clark Eng... - (006) - Sterigmatocystin - 88000Hz
 - 04) 125000Hz » Clark Deu... - (009) - Lycogala - 126000Hz
 » Clark Eng... - (009) - Lycogala - 126000Hz
 - 05) 277000Hz » Clark Deu... - (005) - Sorghum-Sirup - 277000Hz
 » Clark Eng... - (005) - Sorghum-Sirup - 277000Hz
 - 06) 278000Hz » Clark Deu... - (232) - Zahnbelag II 2 - 278750Hz
 » Clark Eng... - (232) - Zahnbelag II 2 - 278750Hz
 » Clark Deu... - (005) - Sorghum-Sirup - 277000Hz
 » Clark Eng... - (005) - Sorghum-Sirup - 277000Hz
 - 07) 288000Hz » Clark Deu... - (003) - Griseofulvin - 288000Hz
 » Clark Deu... - (219) - Mucor mucedo - 288000Hz
 » Clark Eng... - (003) - Griseofulvin - 288000Hz
 » Clark Eng... - (219) - Mucor mucedo - 288000Hz
 - 08) 292000Hz » Clark Deu... - (058) - Herpes simpl. 1 1 - 292000Hz
 » Clark Eng... - (058) - Herpes simpl. 1 1 - 292000Hz
 - 09) 293000Hz » Clark Deu... - (228) - Caries (N) 3 - 293200Hz
 » Clark Eng... - (228) - Caries (N) 3 - 293200Hz
 » Clark Deu... - (058) - Herpes simpl. 1 1 - 292000Hz
 » Clark Eng... - (058) - Herpes simpl. 1 1 - 292000Hz
 - 10) 296000Hz » Clark Deu... - (004) - Mutterkorn - 295000Hz
 » Clark Eng... - (004) - Ergot - 295000Hz
 - 11) 328000Hz » Clark Deu... - (085) - Proteus vulgar 3 - 327200Hz
 » Clark Eng... - (085) - Proteus vulgar 3 - 327200Hz
 » Clark Deu... - (088) - Salmonella enter - 329000Hz
 » Clark Eng... - (088) - Salmonella enter - 329000Hz
 - 12) 343000Hz » Clark Deu... - (076) - Mycoplasma 2 - 342750Hz
 » Clark Eng... - (076) - Mycoplasma 2 - 342750Hz
 » Clark Deu... - (038) - Coryneb. diphth. - 342000Hz
 » Clark Eng... - (038) - Coryneb. diphth. - 342000Hz
 - 13) 356000Hz » Clark Deu... - (030) - Campy. pyloridis - 355000Hz
 » Clark Deu... - (089) - Salmonella typhi - 355000Hz
 » Clark Eng... - (030) - Campy. pyloridis - 355000Hz
 » Clark Eng... - (089) - Salmonella typhi - 355000Hz
 - 14) 354000Hz » Clark Deu... - (030) - Campy. pyloridis - 355000Hz
 » Clark Deu... - (089) - Salmonella typhi - 355000Hz
 » Clark Deu... - (169) - Schistosoma mans - 353000Hz
 » Clark Eng... - (030) - Campy. pyloridis - 355000Hz
 » Clark Eng... - (089) - Salmonella typhi - 355000Hz
 » Clark Eng... - (169) - Schistosoma mans - 353000Hz
 - 15) 355000Hz » Clark Deu... - (078) - Nocardia aster 1 - 355100Hz
 » Clark Eng... - (078) - Nocardia aster 1 - 355100Hz
 » Clark Deu... - (052) - Escherichia coli - 356000Hz
 » Clark Eng... - (052) - Escherichia coli - 356000Hz
 - 16) 359000Hz » Clark Deu... - (016) - Bac. anthracis 3 - 359400Hz
 » Clark Eng... - (016) - Bac. anthracis 3 - 359400Hz
 - 17) 360000Hz » Clark Deu... - (021) - Bakterienkapseln - 360000Hz
 » Clark Eng... - (021) - Bacteria Capsules - 360000Hz
 » Clark Deu... - (016) - Bac. anthracis 3 - 359400Hz
 » Clark Eng... - (016) - Bac. anthracis 3 - 359400Hz
 - 18) 359000Hz » Clark Deu... - (021) - Bakterienkapseln - 360000Hz
 » Clark Deu... - (115) - Besnoitia - 358000Hz
 » Clark Eng... - (021) - Bacteria Capsules - 360000Hz
 » Clark Eng... - (115) - Besnoitia - 358000Hz
 - 19) 360000Hz » Clark Deu... - (045) - Diplococ diphter - 361000Hz
 » Clark Deu... - (154) - Loa loa - 361000Hz
 » Clark Eng... - (045) - Diplococ diphter - 361000Hz
 » Clark Eng... - (154) - Loa loa - 361000Hz
 - 20) 375000Hz » Clark Deu... - (018) - Bac. cereus - 374500Hz
 » Clark Eng... - (018) - Bac. cereus - 374500Hz
 » Clark Deu... - (032) - Bazillenastr. - 376000Hz
 » Clark Deu... - (048) - Enterobac aerog. - 374000Hz
 » Clark Eng... - (032) - Bacillus - 376000Hz
 » Clark Eng... - (048) - Enterobac aerog. - 374000Hz
 - 21) 385000Hz » Clark Deu... - (019) - Bac. subtilis - 385000Hz
 » Clark Deu... - (024) - Beta streptococ. - 385000Hz
 » Clark Eng... - (019) - Bac. subtilis - 385000Hz
 » Clark Eng... - (024) - Beta streptococ. - 385000Hz
 » Clark Deu... - (130) - Entamoeba-hystol - 385000Hz
 » Clark Eng... - (019) - Bac. subtilis - 385000Hz
 » Clark Eng... - (024) - Beta streptococ. - 385000Hz
 » Clark Eng... - (098) - Streptococ lactis - 385000Hz
 » Clark Eng... - (130) - Entamoeba-hystol - 385000Hz
 » Clark Deu... - (231) - Zahnbelag II 1 - 384950Hz
 » Clark Eng... - (231) - Zahnbelag II 1 - 384950Hz
 » Clark Deu... - (103) - Sub terminal spo - 385150Hz

! Wie funktioniert eigentlich der f-scan/Dirp? Zunächst möchte ich eigene Überlegungen von mir, Dr. Strube und Dieter Aschoff zur Messbarmachung von körpereigenen Frequenzen in Erinnerung rufen. Bereits in den 80er Jahren wurde von Dr. Strube ein Rechner der Universität Bremen über ein Wochenende bereitgestellt. Dieser Rechner konnte über Differentialrechnung die dauerhaften Signale verstärken, zufällige Signale aus der Analyse herausrechnen. Ein Schwingkreis wurde in einen faradayischen Käfig eingesperrt und mit einer definierten Substanz versehen. Uns war die Kernresonanzfrequenz der Substanz

bekannt. Leider war nach 2 Tagen das Signal von der Substanz ca 3mm hoch, das der in 1 km entfernt fahrenden Straßenbahn mit einer Frequenz von $16 \frac{2}{3}$ Hz war 2 cm hoch!!!

Wir sahen schnell ein, dass die Messung von Blutfrequenzen aus einem Tropfen Blut mit großen Hindernissen verbunden sein wird. Deshalb wurde dieses Vorhaben aufgegeben. Meine Idee war vor ca. 10 Jahren, dass man zwei Messungen durchführen müsste, einmal direkt am Körper, einmal neben dem Körper. Eine Differenzmessung sollte die körpereigenen von den Umgebungsstrahlungen differenzieren können. Dieses Vorhaben wurde wegen des erheblichen Aufwandes nicht mehr verwirklicht.

Der F-scan hingegen gibt ein definiertes Signal z. B. 80.000 Hz in definierter Spannung in den Körper an einer Hand hinein. Er registriert an der anderen Hand die durch den Körper durchgeleitete Energie. Wenn dort weniger Energie ankommt, regelt der f-scan die Energie bzw. Spannung nach. Dieses „nachregeln“ sieht man an der langen Amplitude des Analysenfeldes. Es bedeutet, dass der Körper hier in Resonanz geht, bzw. Energie absorbiert. Krankheitserreger müssen, wenn sie im Körper vorhanden sind, zwangsläufig Energie absorbieren, wenn diese die Resonanzfrequenz erreichen. Man kann hier also wirklich von „echter Bioresonanz“ sprechen, die andere Verfahren zwar immer für sich beanspruchen, aber keinesfalls diesen wissenschaftlichen Kriterien genügen.

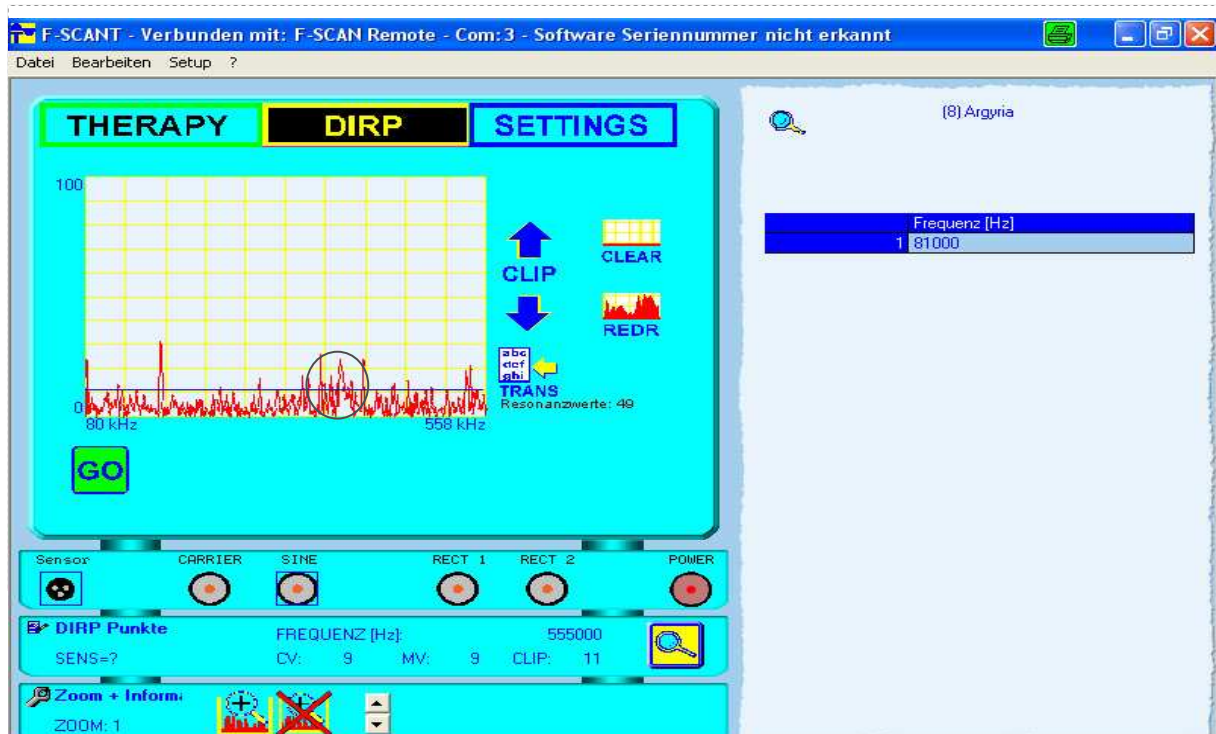
Eine weitere Überraschung ergab sich bei Betrachtung einer erneuten Untersuchung eines Patienten. Wenn eine Therapie erfolgreich war, sollte die neue Signalkurve tiefer liegen, als die Vorherige. Das ist tatsächlich der Fall. Überraschend ist, dass die Charakteristik des Frequenzbildes trotzdem erhalten bleibt, es handelt sich also um „biometrische“ Daten, die einen Bezug zur jeweiligen Person haben.

Ein weiterer Vorteil des f-scan besteht darin, eine Frequenzschaukel, d. h. einen ganzen Bereich von Frequenzen durchzuspielen. Das hat den Sinn, dass Erreger, die auch neben der eigentlichen Resonanz noch Nebenfrequenzen besitzen, auch beseitigt werden können. Ein Beispiel zeigt eine Patientin, die wegen Schulterschmerz zu mir kam.

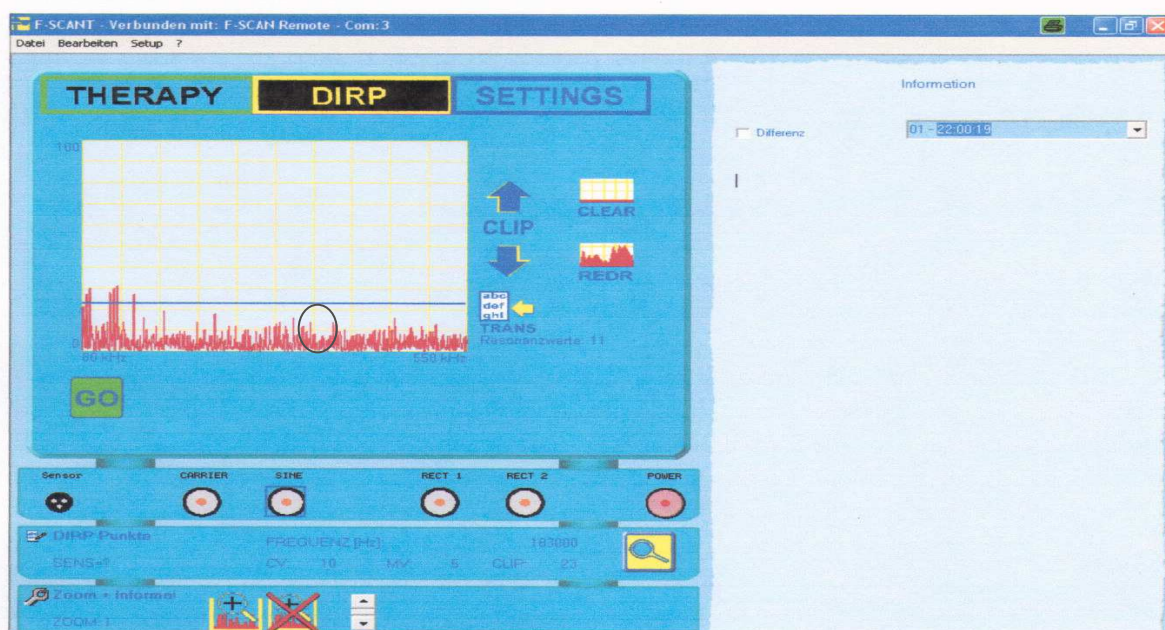
Eine Patientin kommt mit der Bitte zu mir, Meditaping nach Dr. Sielmann zu bekommen. Sie habe eine Fernsehsendung gesehen und die Methode interessant gefunden. Bei der Anamnese berichtet die Patientin, sie habe seit 20 Jahren chronische Schulterschmerzen. Ich war in diesem Moment bereits recht sicher, dass ihr das Meditaping nicht helfen werde, wenn unendlich viele Kollegen und Physiotherapeuten bereits ihr Glück versucht haben. Ich führte auf den Wunsch der Patientin trotzdem Meditaping durch, und bestellte die Patientin eine Woche später wieder ein.

Ergebnis: keinerlei Besserung. Als Nebenbemerkung erwähnt die Patientin, dass sich die Ärzte nicht sicher seien, ob die Borreliose bei ihr ausgeheilt sei. In diesem Moment brach ich jegliche regulationstherapeutische Maßnahme ab und machte eine Frequenzanalyse. Ergebnis: die Borreliose wurde vom Gerät per Frequenz nachgewiesen. Ich beschloss, den Frequenzbereich durch Frequenzschaukel zu behandeln. Eine Woche später kommt die Patientin freudestrahlend in die Praxis und erzählt, dass sie zum ersten Mal seit 20 Jahren eine deutliche Besserung ihrer Schulter habe. Ich sagte, dass wir nun aber in der Frequenzanalyse schauen müssen, ob die Borrelien noch nachweisbar seien. Das Ergebnis sehen Sie hier: Wo die Borrelien zu finden waren, ist nach der Therapie eine deutliche Delle nach einer Woche gut sichtbar!! Inzwischen geht es der Patientin deutlich besser (8 Monate Beobachtungszeit). Sie kann mit ihrer Schulter wieder Autofahren, was vorher durch Schmerzen nicht ging (Lenkbewegung war zu schmerzhaft). Bei einer erneuten Nachkontrolle war keine Borreliose aufgeflackert. Die Schulter ist komplett schmerzfrei.

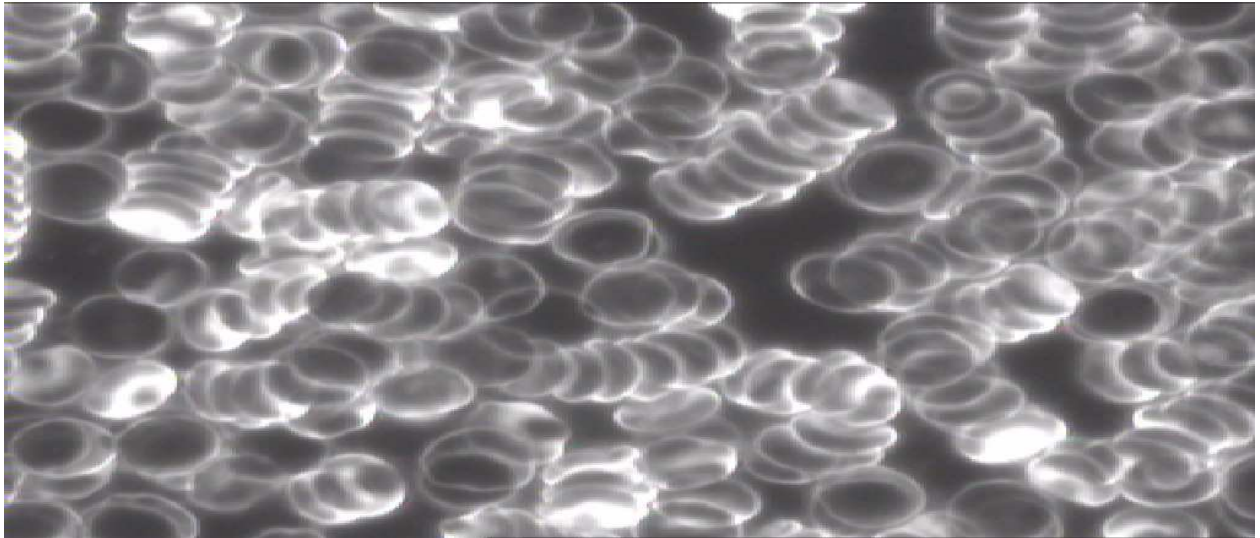
Patientin M.,J., 20.02.08 mit deutlicher Borrelienamplitude



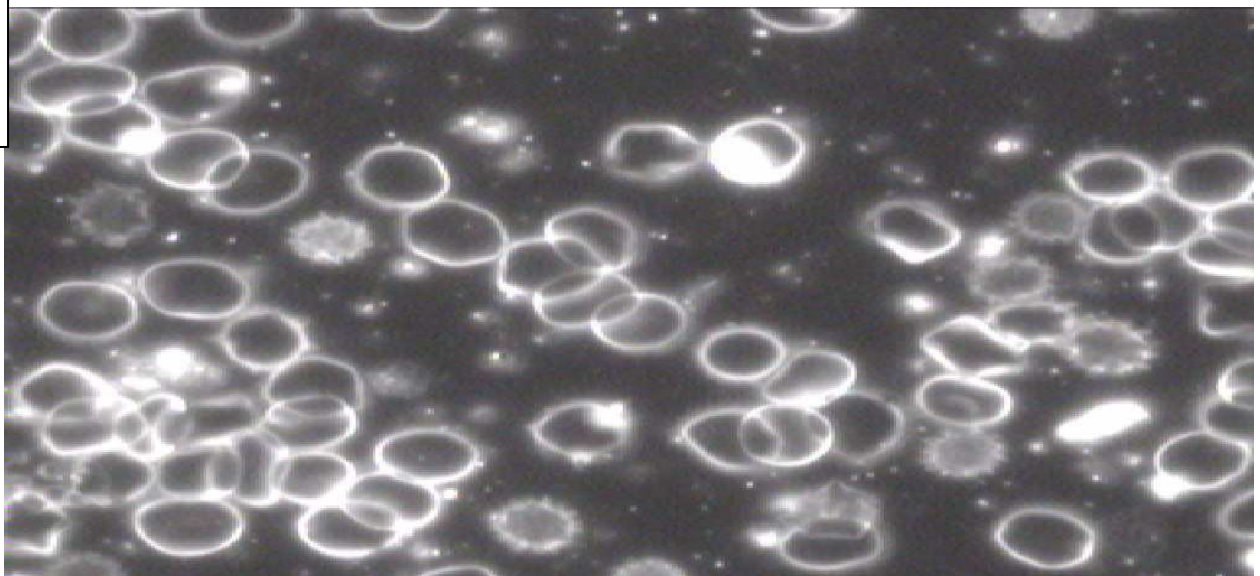
Patientin M., J., 27.02.08 nach Frequenz-Schaukel, zeigt „Delle“



Ein weiterer, sehr interessanter Aspekt ist die Betrachtung des Dunkelfeldblutbildes vor und nach Frequenztherapie. Unten sehen Sie 2 Bilder. Das erste ist vor der Frequenzanalyse und Therapie aufgenommen, Das 2. Bild nachher. Ich erinnere hier an meinen Dunkelfeldvortrag vor einigen Jahren, indem ich auf die Bedeutung der „Verklebung“ der roten Blutkörperchen als Entzündungszeichen hinwies. Sehr schön sind im 2. Bild dann auch Dendritische Zellen zu sehen, die nur bei guter Abwehrlage im Blut erscheinen. Die Dendritischen Zellen haben keinen erkennbaren Rand, sondern sehen etwas „ausgefranst“ aus. Diese Zellen gehören zu den Immunzellen.



Deutliche Verklebung der roten Blutkörperchen vor der Frequenzanalyse und Therapie



Unteres Bild nach Frequenzbehandlung, deutliche Verringerung der Verklebung der roten Blutkörperchen.

Zum Schluss möchte ich auf einen Kurs für das f-scan/Dirp Verfahren für interessierte Heilkundige hinweisen. Anmeldeformulare liegen aus.